

## **BAB V**

### **PENUTUP**

#### **V.1 Kesimpulan**

Berdasarkan hasil yang diperoleh dari penelitian ini, maka dapat disimpulkan sebagai berikut :

1. Berdasarkan kecepatan gelombang geser hingga kedalaman 30 meter yang diperoleh, struktur perlapisan sub-permukaan tanah terdiri atas lima lapisan. Lapisan tersebut terdiri dari *soft clay*, *clay and silt*, *sandy clays*, *medium to dense sand* dan *medium to dense gravel* dengan nilai  $V_{s_{30}}$  yaitu 225.3 m/s yang diklasifikasikan sebagai situs kelas D atau tanah sedang (*stiff soil*).
2. Kecepatan gelombang geser ( $V_s$ ) meningkat berdasarkan bertambahnya jumlah kompaksi yang dilakukan, dimana kompaksi 30 *passes* memiliki nilai  $V_s$  rata-rata dan daya dukung ijin terbesar yaitu 156.2 m/s dan 190.3 kPa. Perubahan  $V_s$  rata-rata pada kompaksi 0 - 5, 5 - 10 serta 10 - 30 *passes* secara berurutan adalah 9.2 m/s, 6.6 m/s dan 5.6 m/s dengan perubahan  $V_s$  rata-rata dari 0 – 30 *passes* yaitu 21.4 m/s.

#### **V.2 Saran**

Adapun saran untuk penelitian selanjutnya yaitu :

1. Sebaiknya dilakukan interval pelewatan kompaksi yang konstan untuk mengetahui lebih jelas efek kompaksi pada setiap lintasan.
2. Sebaiknya dilakukan pengambilan data pendukung seperti data bor atau NSPT tanah sebagai korelasi dalam melakukan interpretasi sub-permukaan tanah.

## DAFTAR PUSTAKA

- Ariestianty, S. K., Taha, M. R., Nayan, K. A. M., & Chik, Z. (2009). Penentuan modulus geser tanah menggunakan metode analisis multi channel gelombang permukaan. *Jurnal Ilmiah Semesta Teknik*, 12(2), 185–198.
- Bathia, A. B. (1986). *Mechanics of Deformable Media*. University of Sussex Press.
- Darwis, H. (2017). *Dasar-dasar Teknik Perbaikan Tanah*. Pustaka AQ.
- Das, B. M., Endah, N., & Mochtar, I. B. (1995). *Mekanika Tanah Jilid 2 (Prinsip-Prinsip Rekayasa Geoteknis)*. Erlangga.
- Das, B. M., & Ramana, G. V. (2010). *Principles of Soil Dynamics* (Second Edi). Cengage Learning.
- Dobrin, M. B. (1988). Introduction to geophysical prospecting. 3rd edition. In *Introduction to geophysical prospecting. 3rd edition*.
- Federal Emergency Management Agency. (2003). NEHRP Recommended Provisions for Seismic Regulations for New Buildings and Other Structures (FEMA 450). In *Part 1* (Issue Fema 450). FEMA.  
<https://doi.org/10.1016/j.compgeo.2013.09.005>
- Foti, S. (2000). Multistation methods for geotechnical characterization using surface waves. *Politecnico Di Torino Ph D Dissertation*, 42, 315–323.  
[http://www2.polito.it/ricerca/soilmech/sasw/SF\\_Ph\\_d\\_diss.pdf](http://www2.polito.it/ricerca/soilmech/sasw/SF_Ph_d_diss.pdf)
- Foti, S., Lai, C., Rix, G. J., & Strobbia, C. (2014). Surface Wave Methods for Near-Surface Site Characterization. In *Surface Wave Methods for Near-Surface Site Characterization*. <https://doi.org/10.1201/b17268>
- Kuo, Y. L., Jaksa, M. B., Scott, B. T., Bradley, A. C., Power, C. N., Crisp, A. C., & Jiang, J. H. (2013). Assessing the effectiveness of rolling dynamic compaction. *18th International Conference on Soil Mechanics and Geotechnical Engineering: Challenges and Innovations in Geotechnics, ICSMGE 2013*, 2(April 2015), 1309–1312.
- Maemunah. (2018). *Analisis Daya Dukung Tanah Pada Pondasi Jembatan di Desa Lembar Kecamatan Lembar (NTB) Menggunakan Metode Seismik*. Universitas Mataram.
- Nurcandra, N., D, D., & Koesuma, S. (2016). Penentuan Tingkat Kekerasan Batuan Menggunakan Metode Seismik Refraksi di Jatikuwung Karanganyar. *Indonesian Journal of Applied Physics*, 3(01), 29.

<https://doi.org/10.13057/ijap.v3i01.1212>

- Olafsdottir, E. A. (2019). *Multichannel Analysis of Surface Waves for Soil Site Characterization*. University of Iceland.
- Olafsdottir, E. A., Bessason, B., & Erlingsson, S. (2018). Combination of dispersion curves from MASW measurements. *Soil Dynamics and Earthquake Engineering*, 113(May), 473–487. <https://doi.org/10.1016/j.soildyn.2018.05.025>
- Olafsdottir, E. A., Erlingsson, S., & Bessason, B. (2018). Tool for analysis of multichannel analysis of surface waves (MASW) field data and evaluation of shear wave velocity profiles of soils. *Canadian Geotechnical Journal*, 55(2), 217–233. <https://doi.org/10.1139/cgj-2018-0078>
- Park, C. B. (1995). Characterization of Geotechnical Sites by Multi-Channel Analysis of Surface Waves (MCASW). *KGS Fall*, 95, 141–148.
- Park, C. B., Miller, R. D., & Xia, J. (1998). Imaging dispersion curves of surface waves on multi-channel record. *1998 SEG Annual Meeting*. <https://doi.org/10.1190/1.1820161>
- Park, C. B., Miller, R. D., & Xia, J. (1999). Multichannel analysis of surface waves. *Geophysics*, 64(3), 800–808. <https://doi.org/10.1190/1.1444590>
- Park, C. B., Miller, R. D., Xia, J., & Ivanov, J. (2007). Multichannel analysis of surface waves (MASW) - active and passive methods. *The Leading Edge*.
- Rasimeng, S., Laksono, A., & Rustadi. (2018). Interpretasi Nilai Kecepatan Gelombang Geser (Vs30) Menggunakan Metode Seismik Multichannel Analysis Of Surface Waves (MASW) Untuk Memetakan Daerah Rawan Gempa Bumi Di Kota Bandar Lampung. *Jurnal Geofisika Eksplorasi*, 3(3).
- Richart, F. E., Hall, J. R., & Woods, R. D. (1970). Vibrations of soils and foundations. In *Prentice Hall*.
- Roser, J., & Gosar, A. (2010). Determination of Vs30 for seismic ground classification in the ljubljana area, Slovenia. *Acta Geotechnica Slovenica*, 7(1), 61–76.
- Rosyidi, S. A. P. (2013). *Metode Analisis Gelombang Permukaan Untuk Penyelidikan Sub-Permukaan*. LP3M - Universitas Muhammadiyah Yogyakarta. <http://library1.nida.ac.th/termpaper6/sd/2554/19755.pdf>
- Rosyidi, S. A. P. (2015). Pemetaan Daya Dukung Tanah Dan Diskontinuitas Struktur Tanah Dasar Menggunakan Metode Multi Channel Analysis of Surface Waves (MASW). *Seminar Nasional Teknik Sipil V Tahun, 2004*, 161–169.

- Santoso, D. (2002). *Pengantar Teknik Geofisika*. Universitas Teknik Bandung.
- Scott, B. ., & Jaksa, M. . (2014). Evaluating rolling dynamic compaction of fill using CPT. *3rd International Symposium on Cone Penetration Testing (CPT'14), May 2014*, 941–948.
- Shearer, P. M. (2009). *Introduction to Seismology* (Second Edi). Cambridge University Press. <http://library1.nida.ac.th/termpaper6/sd/2554/19755.pdf>
- Stokoe, K. H., Wright, S. G., Bay., J. A., & Roesset, J. M. (1994). Characterization of geotechnical sites by SASW method. In R. D. Woods (Ed.), *Geophysical characterization of sites* (pp. 15–25). Oxford Publisher.
- Susilawati. (2008). Penerapan Penjalaran Gelombang Seismik Gempa pada Penelaahan Struktur Bagian dalam Bumi. *Universitas Sumatera Utara*.
- Telford, W. M., Geldart, L. P., & Sheriff, R. E. (1990). *Applied Geophysics*. Cambridge University Press.
- Tezcan, S. S., & Ozdemir, Z. (2012). Allowable Bearing Pressure in Soils and Rocks through Seismic Wave Velocities. *Earth Science Research, 1*(1), 98–108. <https://doi.org/10.5539/esr.v1n1p98>
- Utami, H. A. (2016). *Perbandingan Pre Stack Depth Migration dan Post Stack Depth Migration Data Seismik Marine di Wilayah Perairan Vietnam*. Universitas Lampung.
- Wangsadinata, W. (2006). *Perencanaan Bangunan Tahan Gempa Berdasarkan SNI 1726-2002*. Shortcourse HAKI.

# LAMPIRAN

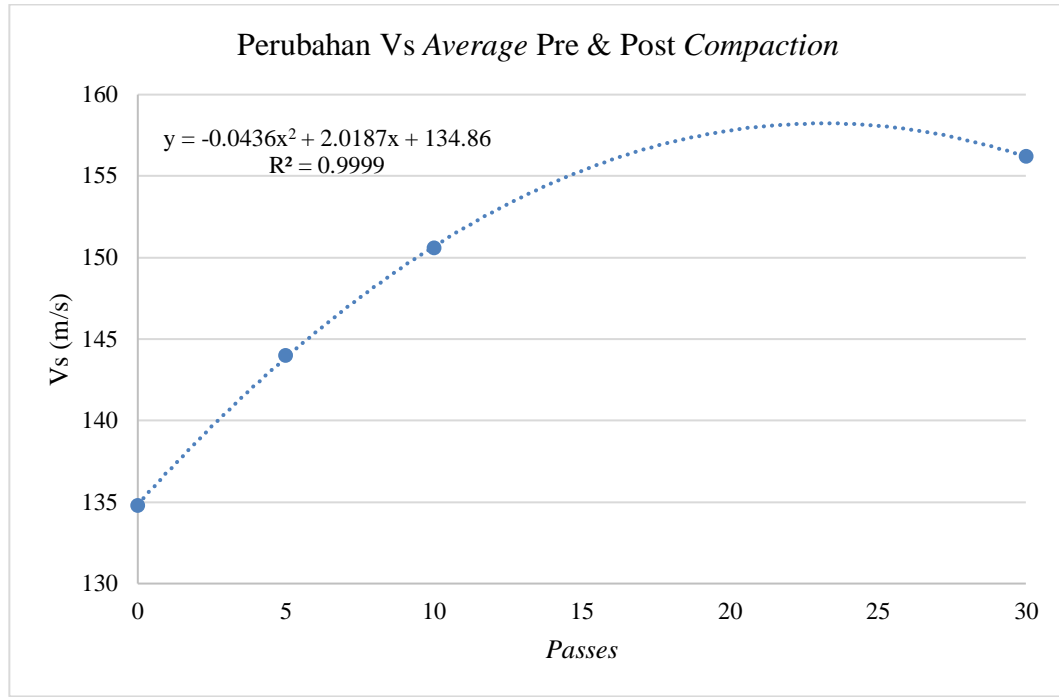
## LAMPIRAN 1 Tabel Hasil Pengolahan Data

**Tabel** hasil pengolahan data untuk 0, 5, 10 dan 30 passes

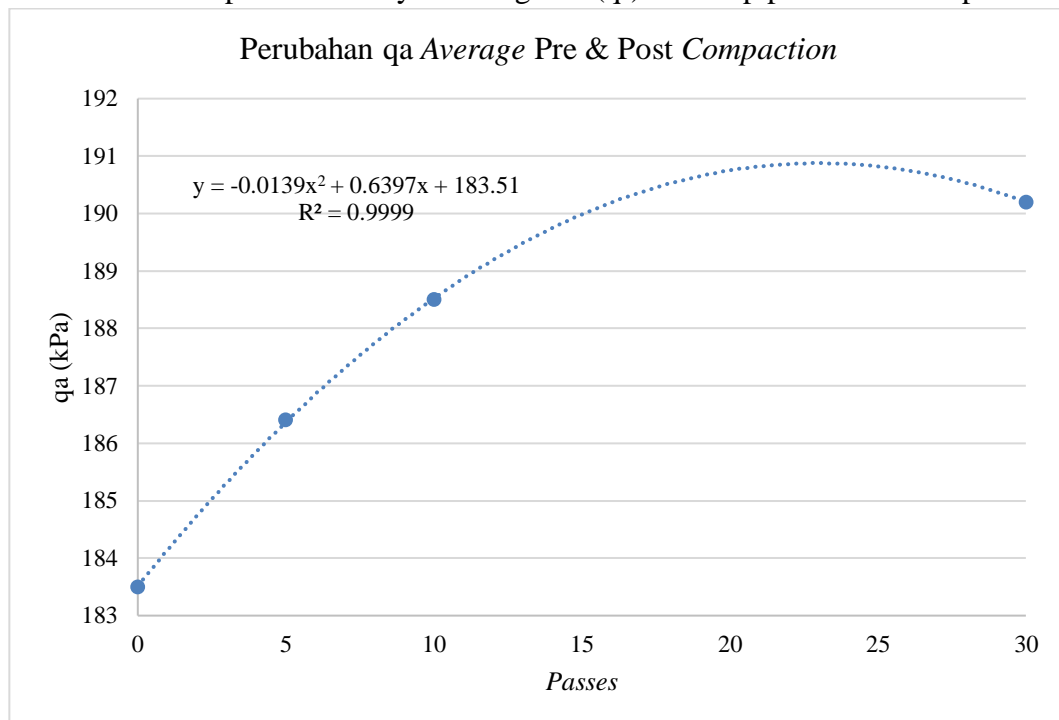
No	Lane	0 Passes					5 Passes					10 Passes					30 Passes									
		Thickness	h (m)	Vs (m/s)	qa (kN/m <sup>2</sup> )	Vs30	Thickness	h (m)	Vs (m/s)	qa (kN/m <sup>2</sup> )	Vs30	Thickness	h (m)	Vs (m/s)	qa (kN/m <sup>2</sup> )	Vs30	Thickness	h (m)	Vs (m/s)	qa (kN/m <sup>2</sup> )	Vs30					
1	A	0.5	0.5	107.1	172.91228	136.1	0.5	0.5	119.7	177.7878206	144															
2		0.5	1	117.4	176.927562		0.5	1	125	179.723957																
3		0.5	1.5	124.7	179.616025		0.5	1.5	131.1	181.8775693																
4		0.5	2	129.7	181.390051		0.5	2	138.1	184.2582271																
5		0.5	2.5	136	183.553722		0.5	2.5	145.7	186.7425808																
6		0.4	2.9	142	148.436444		0.5	3	149	187.7911129																
7		0.5	3.4	144.7	186.42133		0.5	3.5	154	189.347096																
8		0.6	4	154.9	227.547762		0.5	4	157.9	190.5346652																
9		0.5	4.5	161.8	191.700435		0.5	4.5	163.8	192.2901078																
10		0.5	5	165.4	192.75797		0.5	5	175.2	195.5518793																
11	B	0.5	0.5	101.4	170.56423	133.4						0.5	0.5	124.2	179.435706	150.6										
12		0.5	1	108.9	173.634267		0.5	1	132.3	182.292344																
13		0.5	1.5	120.7	178.157983		0.5	1.5	138.5	184.391506																
14		0.5	2	128.3	180.89857		0.5	2	146.9	187.125907																
15		0.5	2.5	138.6	184.424781		0.5	2.5	150.3	188.199391																
16		0.5	3	140.4	185.020668		0.5	3	155.1	189.684314																
17		0.5	3.5	149.5	187.948458		0.5	3.5	159	190.865639																
18		0.5	4	153.2	189.10071		0.5	4	168.2	193.568626																
19		0.5	4.5	158.8	190.80559		0.5	4.5	172.6	194.8223																
20		0.5	5	166.5	193.077661		0.5	5	177.8	196.273383																
21	C	0.5	0.5	103	171.233122	134.9											0.5	0.5	130.8	181.773431	156.2					
22		0.5	1	114.4	175.78628		0.5	1	139.7	184.789619																
23		0.5	1.5	116.4	176.54959		0.5	1.5	143.1	185.903847																
24		0.5	2	128.9	181.109694		0.5	2	151.4	188.542793																
25		0.5	2.5	134.7	183.113502		0.5	2.5	156.8	190.201958																
26		0.5	3	138.6	184.424781		0.5	3	162.8	191.99595																
27		0.5	3.5	155.9	189.928438		0.5	3.5	167.4	193.338049																
28		0.5	4	162.6	191.936956		0.5	4	171.3	194.454416																
29		0.5	4.5	163.8	192.290108		0.5	4.5	174.5	195.356257																
30		0.5	5	165.7	192.845316		0.5	5	179.9	196.850381																
<b>Average</b>					134.8																					

## LAMPIRAN 2 Grafik Perubahan Vs dan qa

**Gambar** Grafik perubahan Vs terhadap pelewatan kompaksi

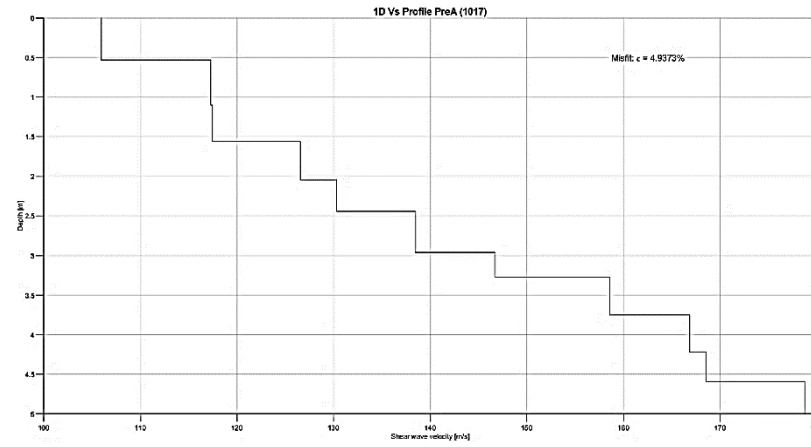
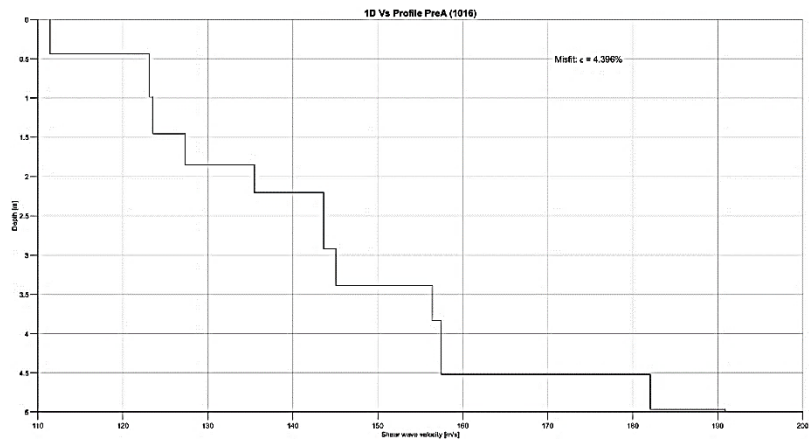
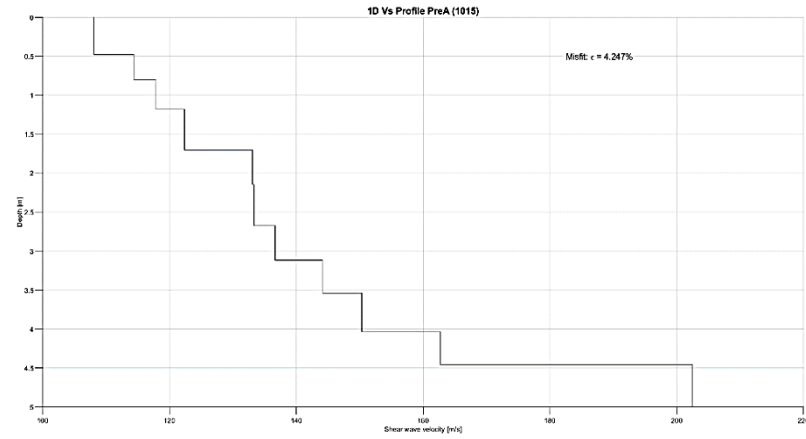
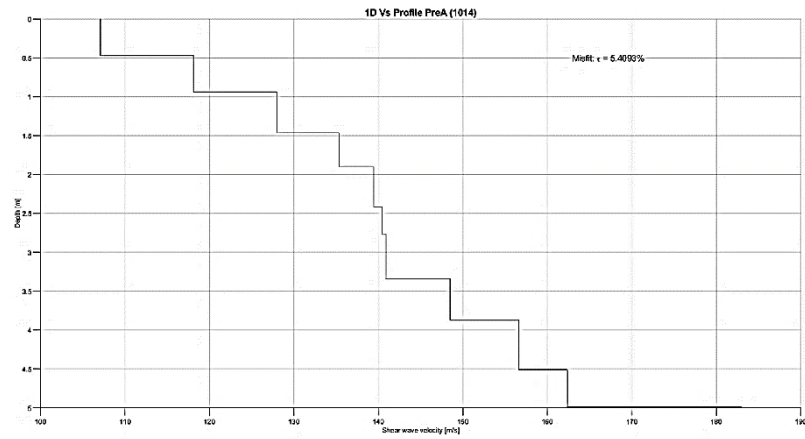


**Gambar** Grafik perubahan daya dukung izin (qa) terhadap pelewatan kompaksi



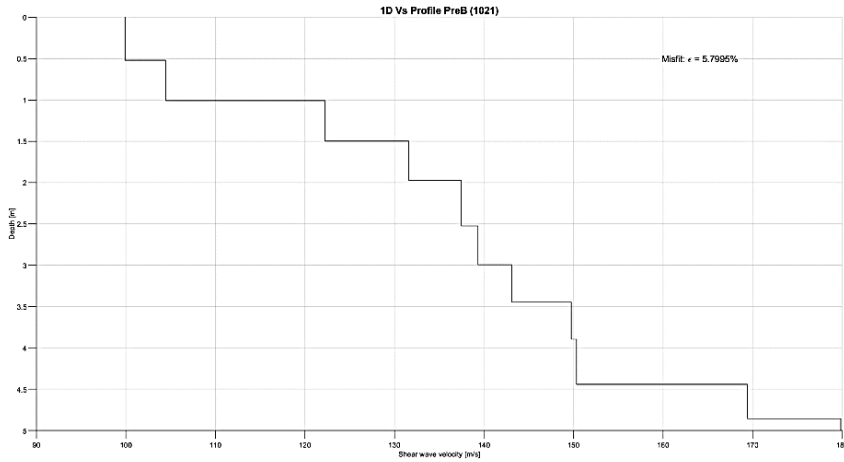
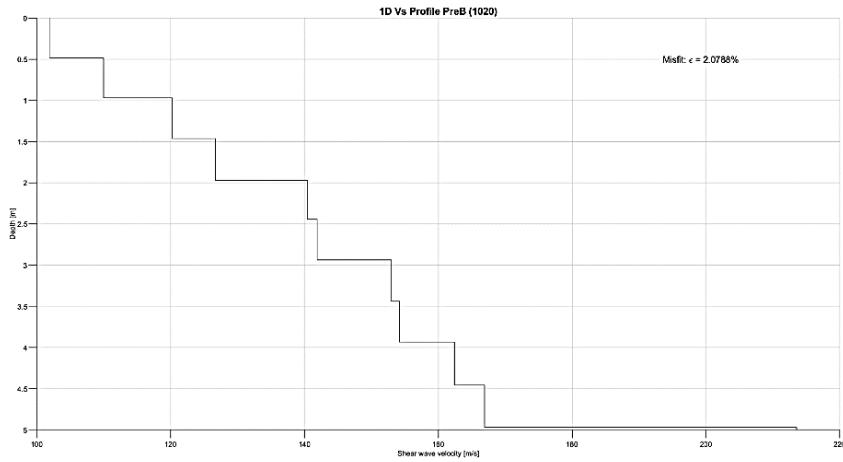
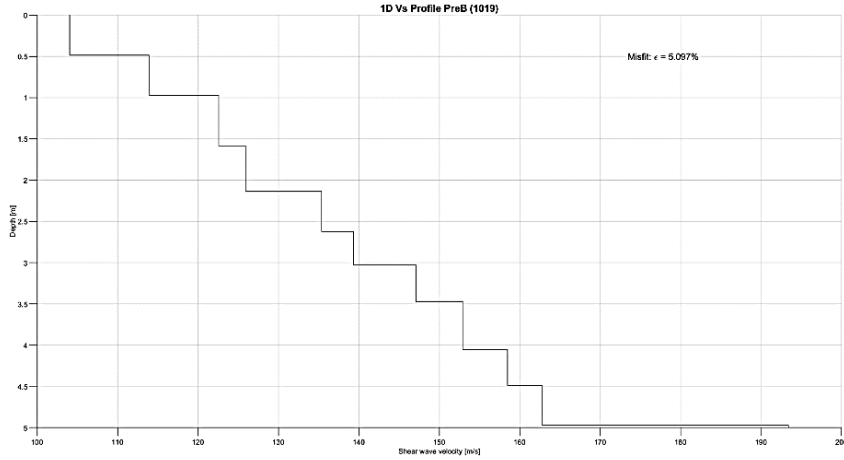
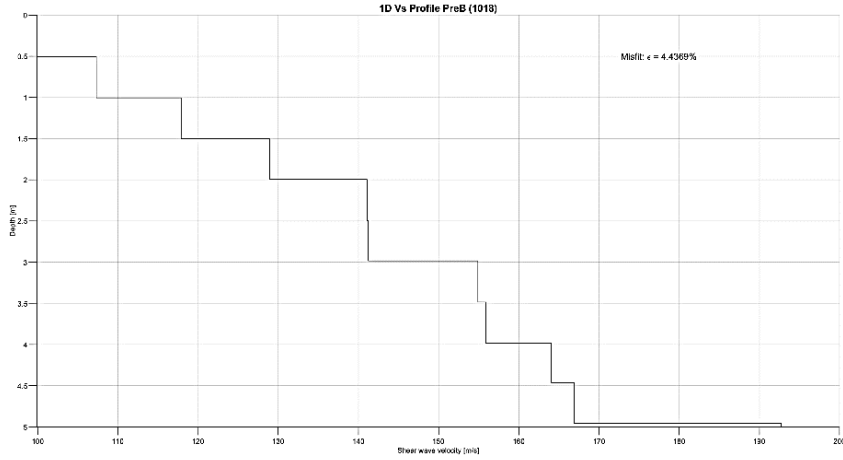
### LAMPIRAN 3 Profil Vs 1D

PreA 0 passes

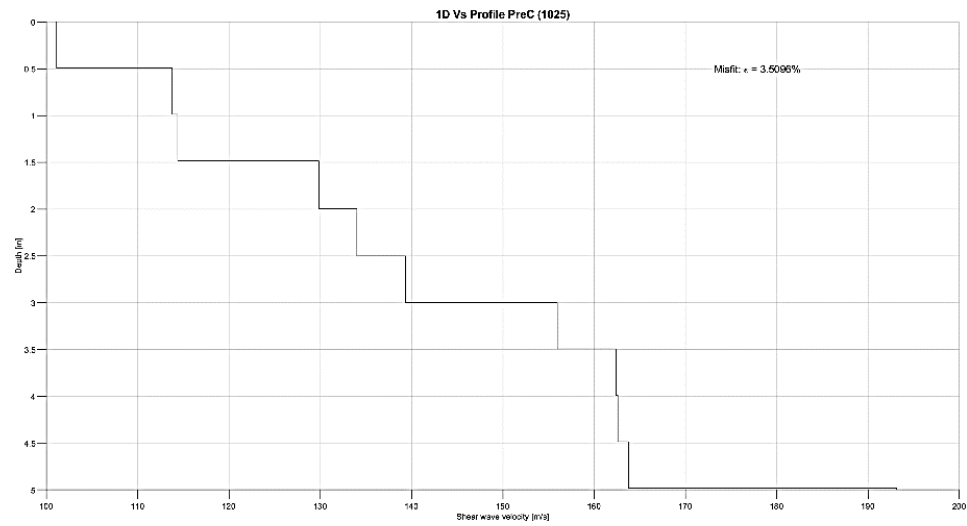
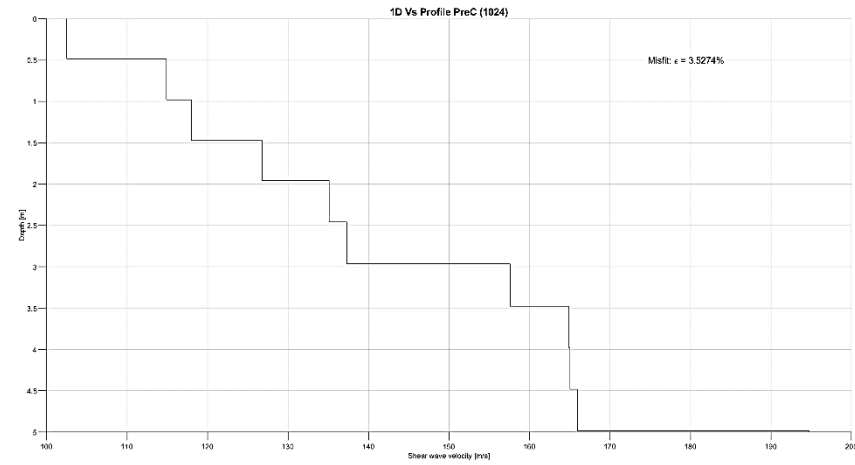
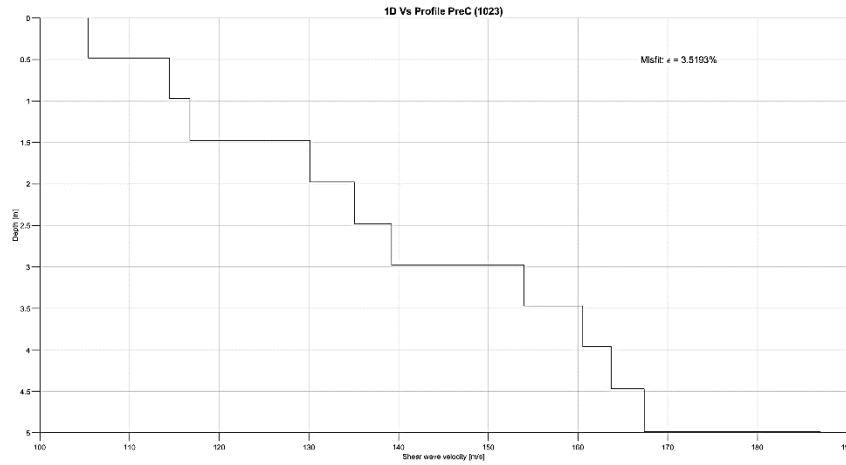




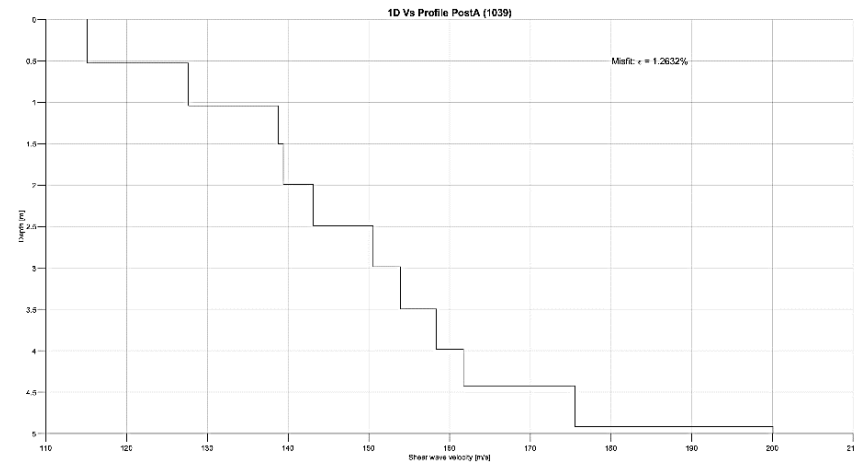
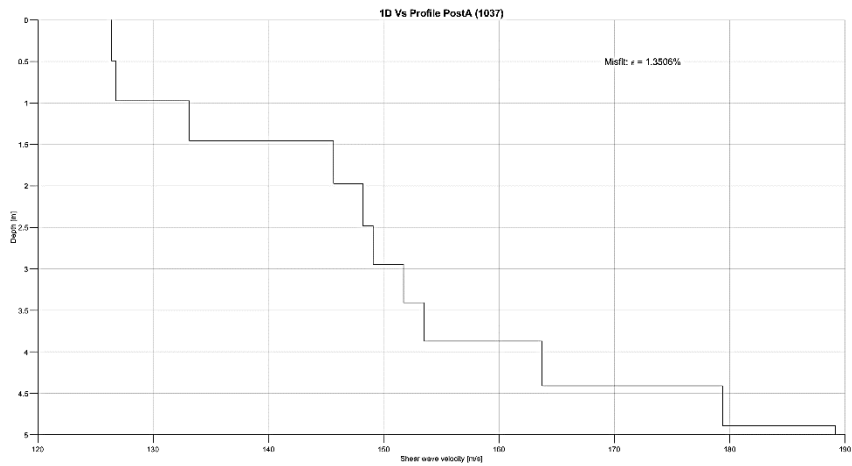
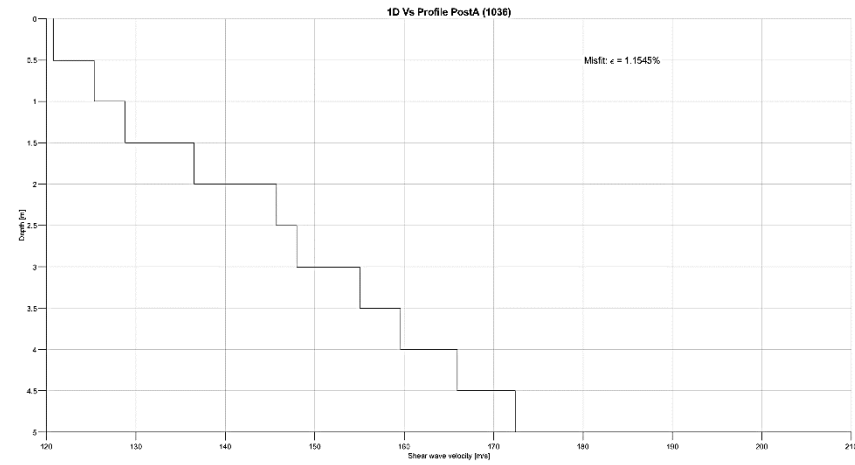
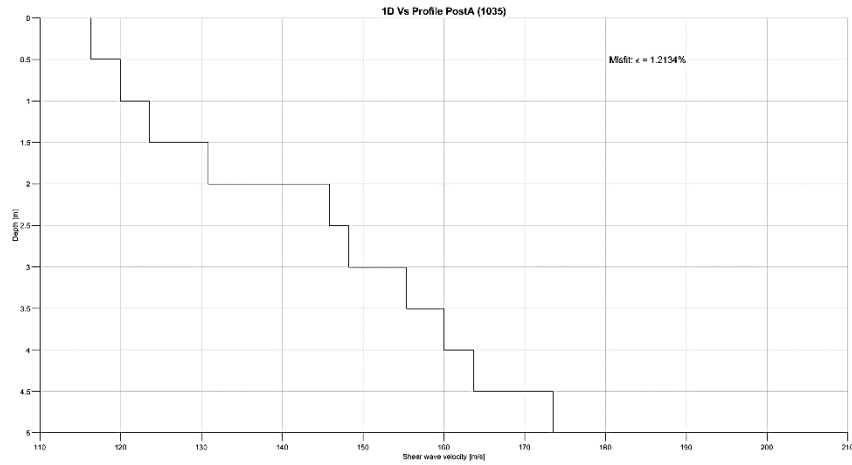
PreB 0 passes



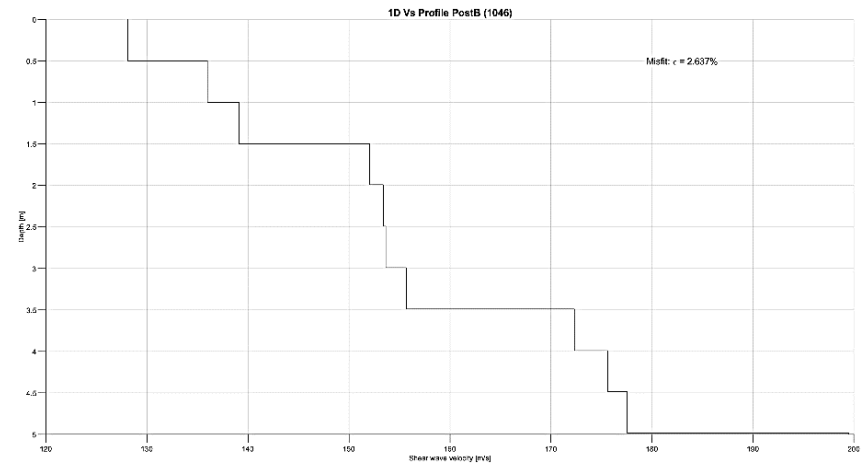
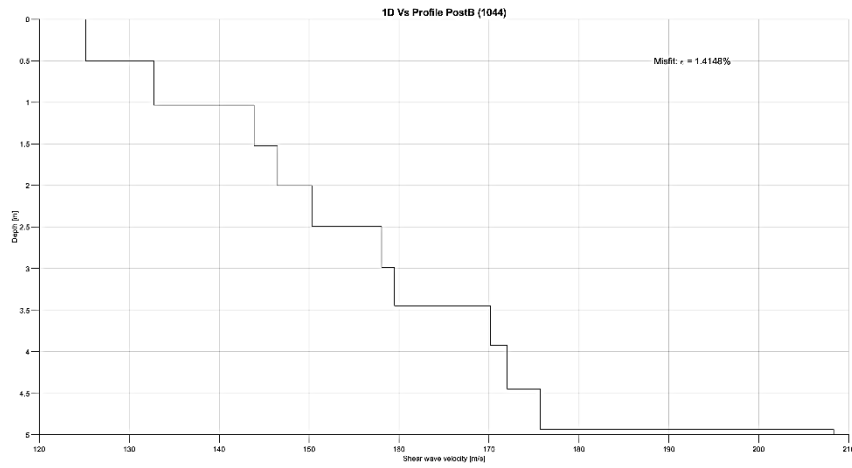
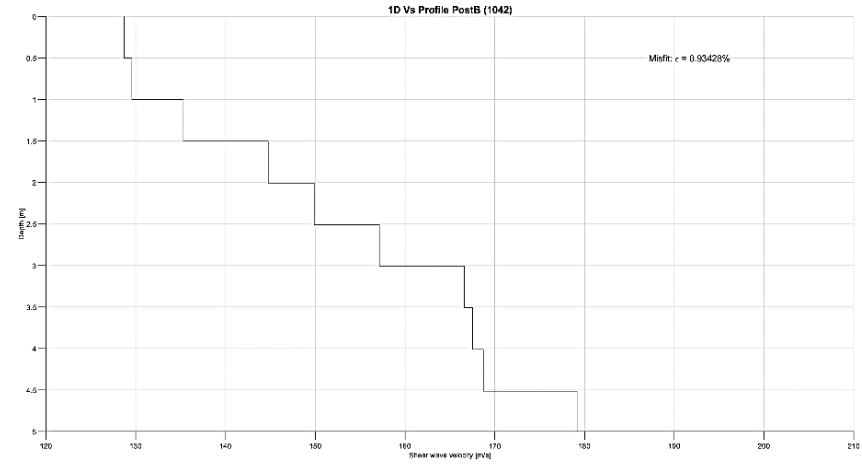
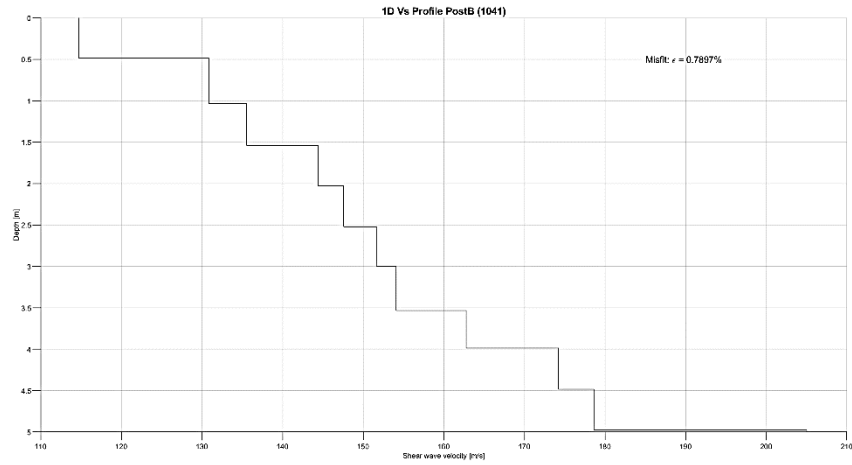
PreC 0 passes



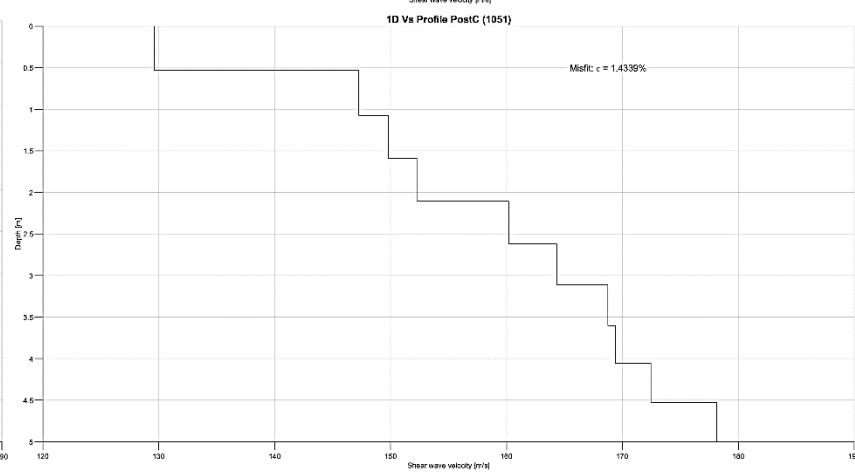
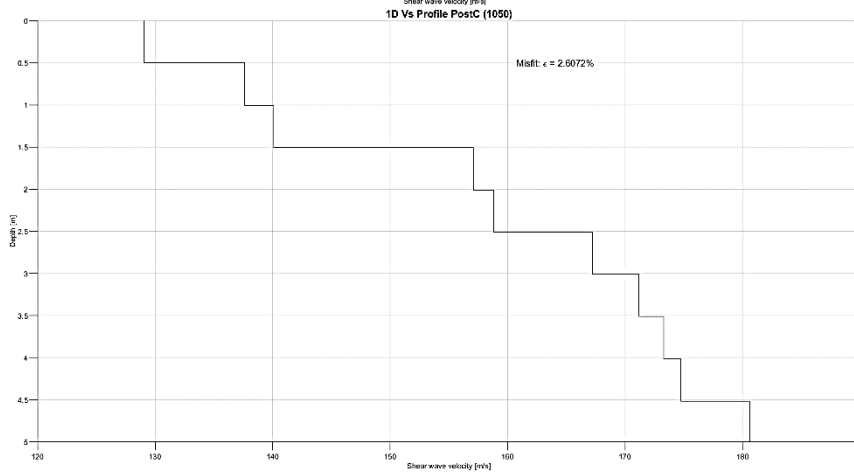
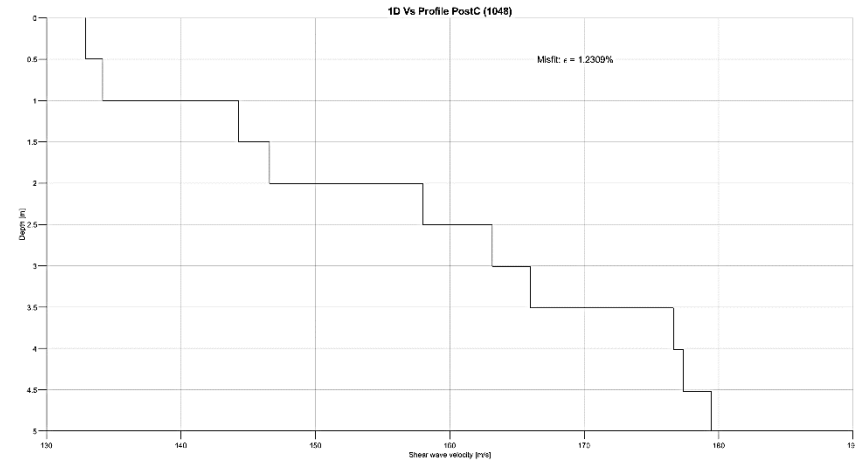
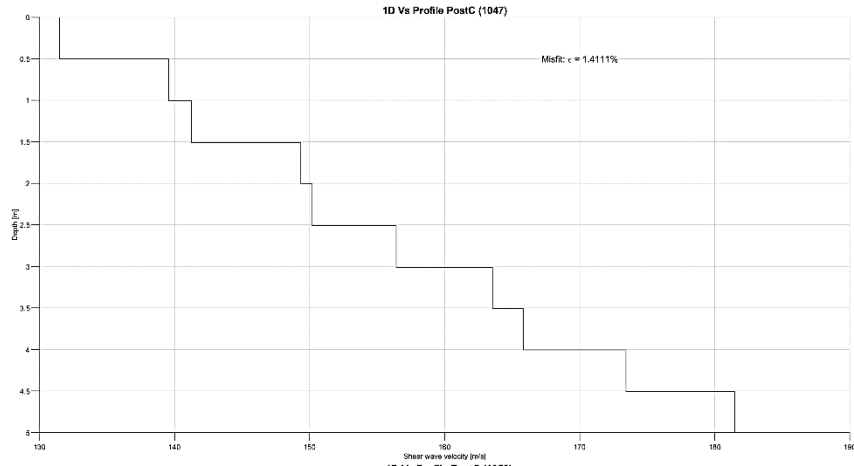
PostA 5 passes



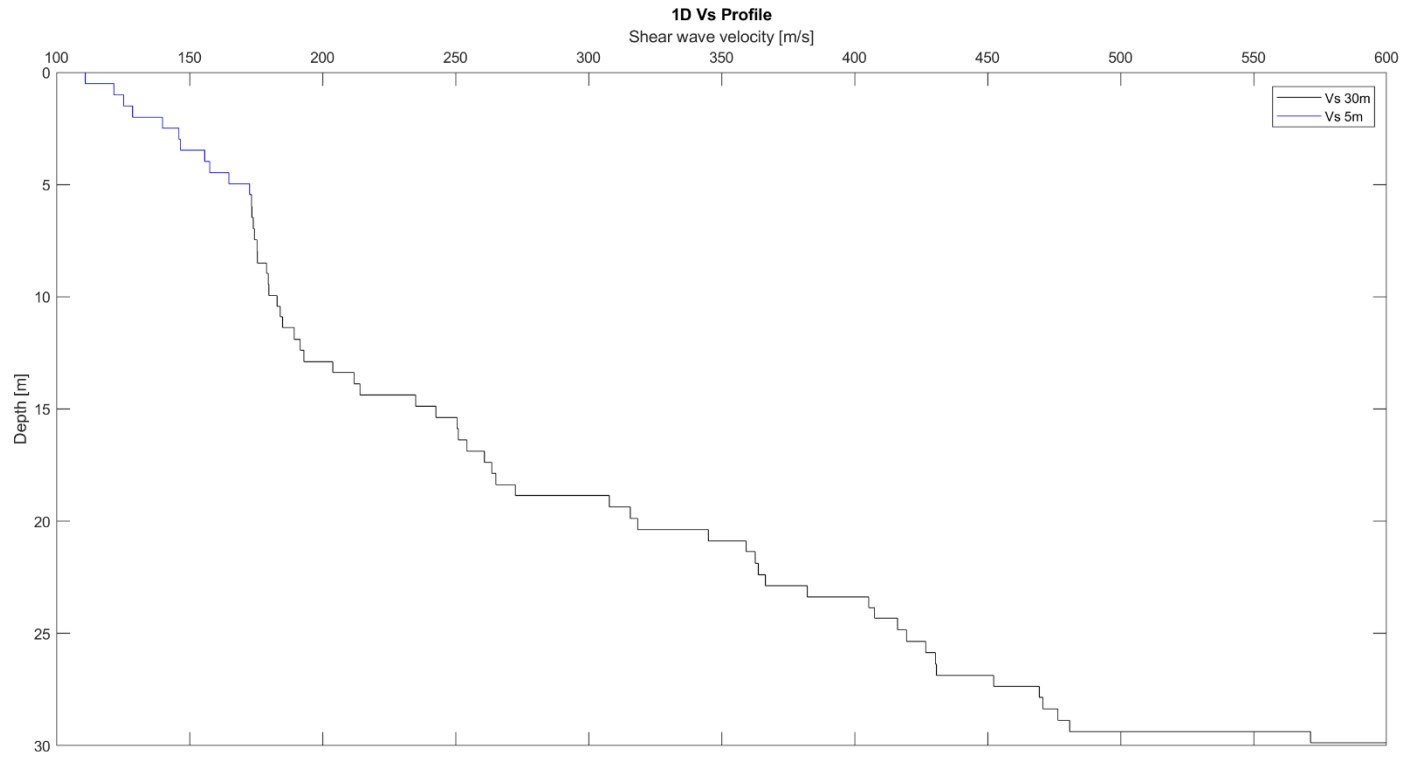
# PostB 10 passes



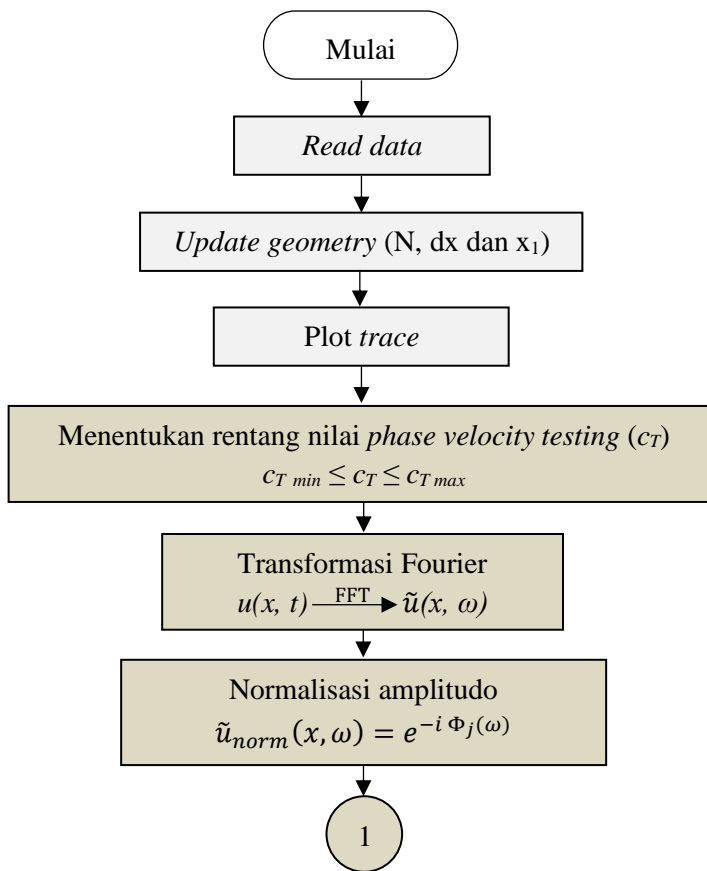
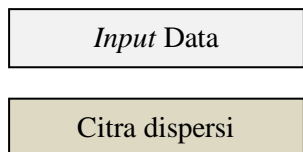
# PostC 30 passes



*Overlay Vs dan Vs30*



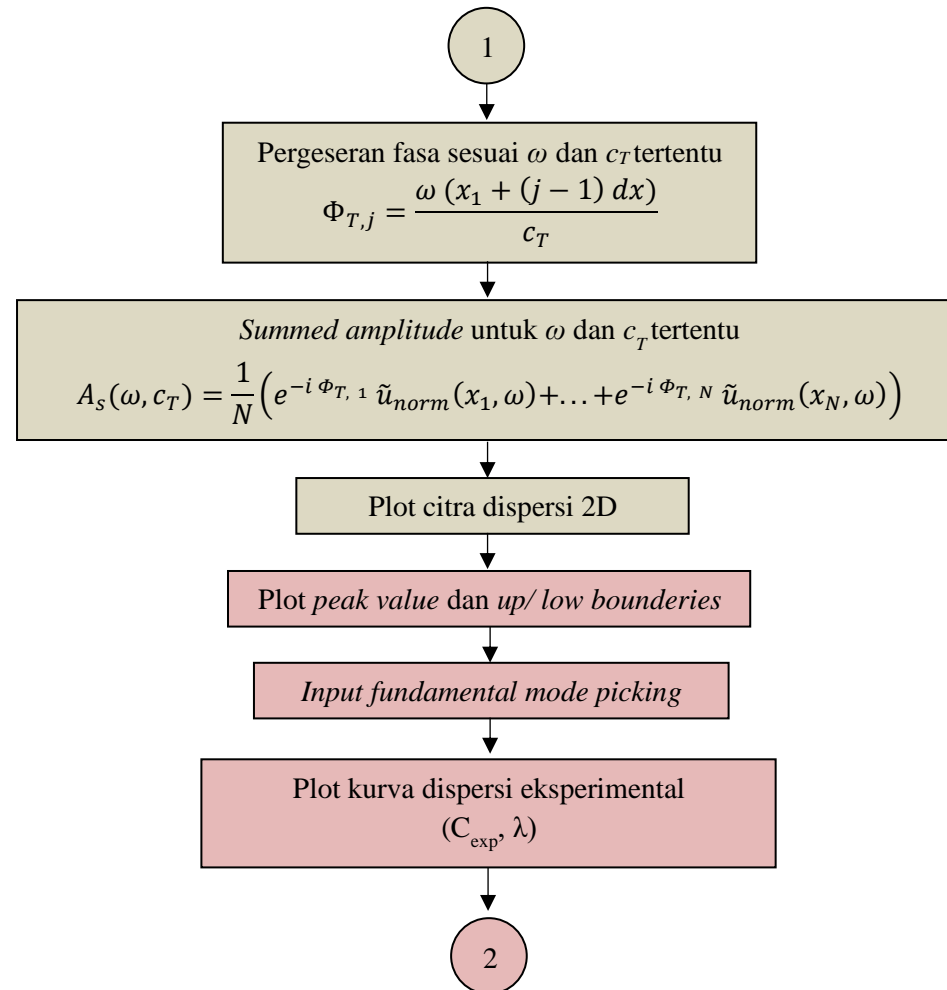
### LAMPIRAN 4 Program Workflow



Citra dispersi

Ekstrak citra dispersi

Initial Estimate of Model Parameters

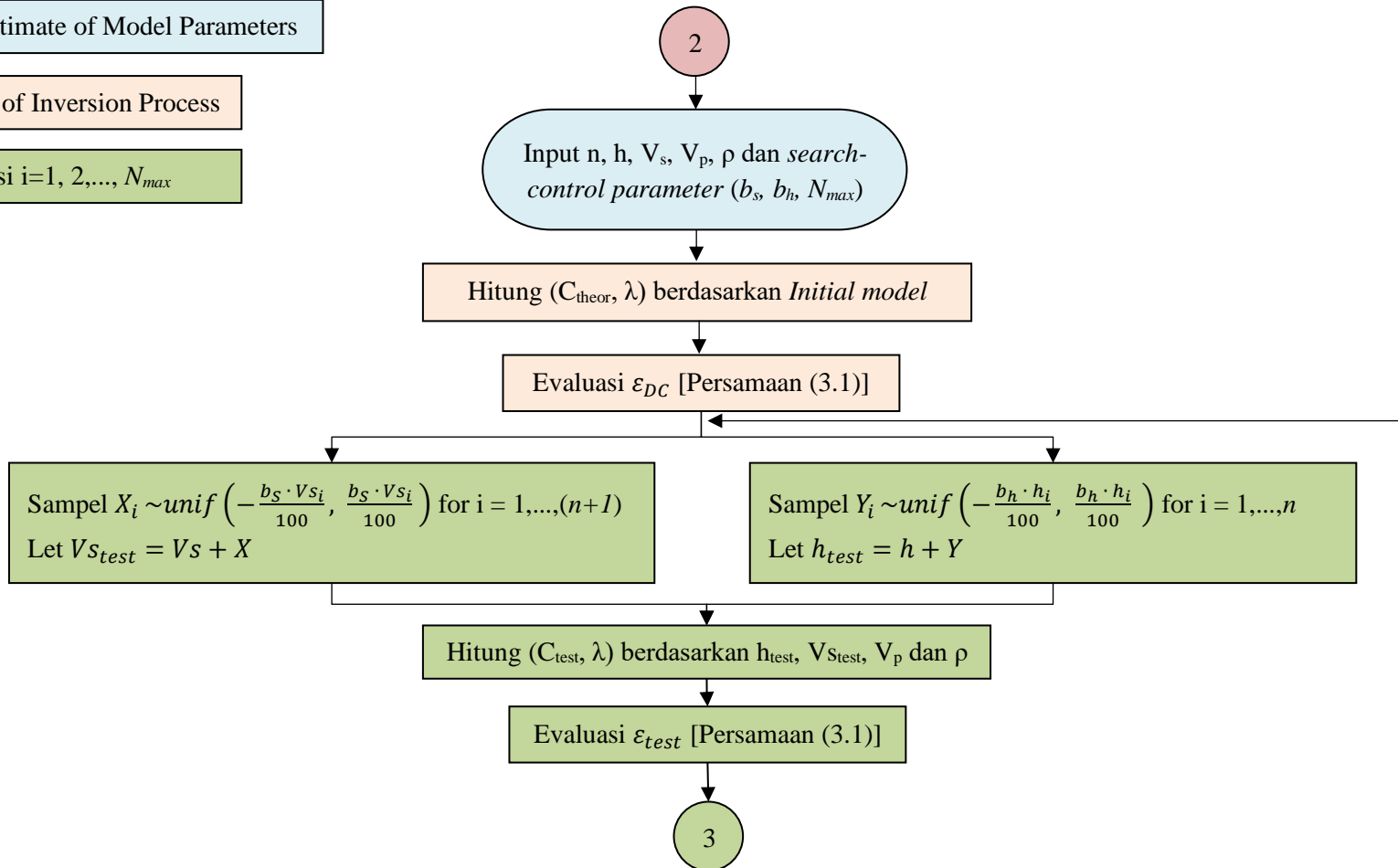




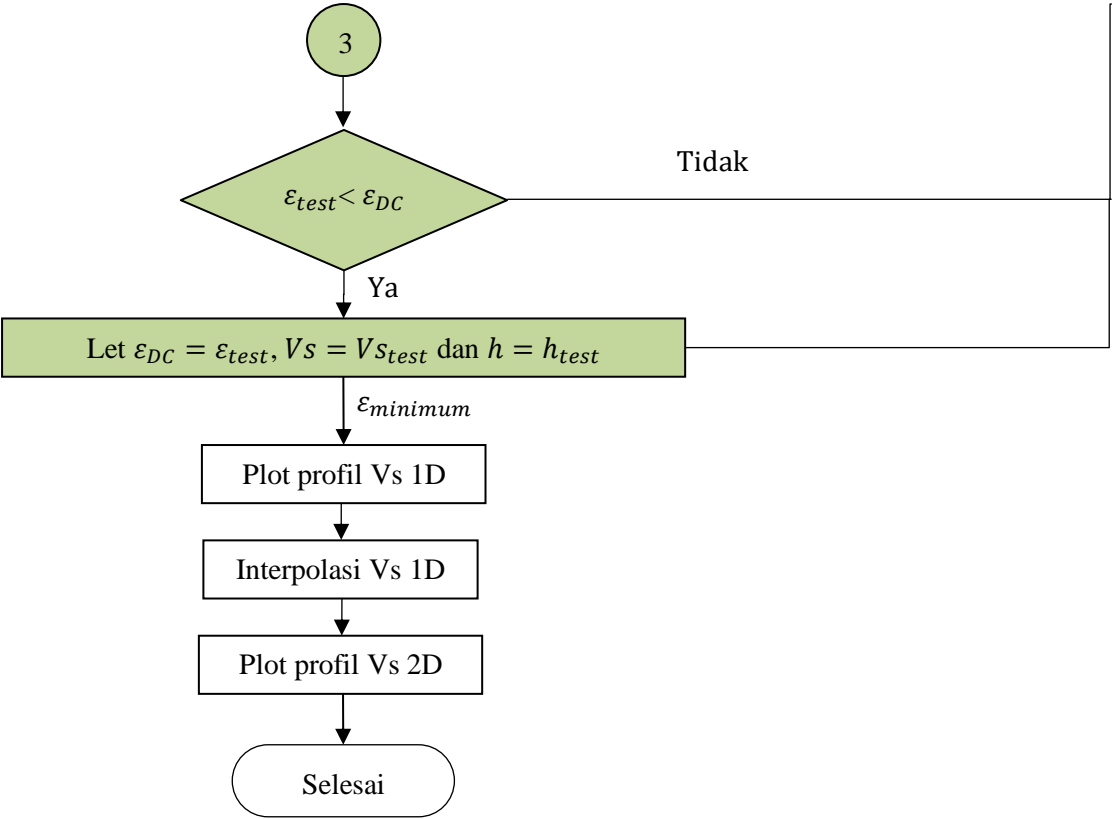
Initial Estimate of Model Parameters

Initiation of Inversion Process

Iterasi  $i=1, 2, \dots, N_{max}$



Iterasi  $i=1, 2, \dots, N_{max}$



## LAMPIRAN 5 Kurva Teoritis

Kurva teoritis terbentuk dari hasil kalkulasi *initial model* menggunakan algoritma *fast delta matrix*.

### A. Notasi dan Parameter

#### 1. Parameter Dispersi

$k, \omega$       bilangan gelombang dan frekuensi

$c = \omega/k$     kecepatan fasa

$D(c, k)$     fungsi dispersi

#### 2. Parameter Model Lapisan

$i = 1, 2, \dots, n$       Indeks lapisan

$i = 0$                     Indeks atas lapisan *half-space* (jika ada)

$\ell = n + 1$               Indeks bawah lapisan *half-space* (jika ada)

$\alpha_i, \beta_i$                 Kecepatan gelombang *P* dan *S* lapisan ke-*i*

$\rho_i, \mu_i = \rho_i \beta_i^2$       Densitas dan rigiditas lapisan ke-*i*

$d_i$                       Ketebalan lapisan ke-*i*

$\gamma_i = \beta_i^2/c^2$

$t_i = (2 - c^2/\beta_i^2)$

#### 3. Layer Eigenfunctions

$c < \alpha_i (c < \beta_i)$        $c > \alpha_i (c > \beta_i)$

$r_i$                        $(1 - c^2/\alpha_i^2)^{1/2}$        $i(c^2/\alpha_i^2 - 1)^{1/2} = i\bar{r}_i$

$s_i$                        $(1 - c^2/\beta_i^2)^{1/2}$        $i(c^2/\beta_i^2 - 1)^{1/2} = i\bar{s}_i$

$C_{\alpha_i}(k)$	$\cosh(kr_i d_i)$	$\cos(k\bar{r}_i d_i)$
$S_{\alpha_i}(k)$	$\sinh(kr_i d_i)$	$i \sin(k\bar{r}_i d_i)$
$C_{\beta_i}(k)$	$\cosh(ks_i d_i)$	$\cos(k\bar{s}_i d_i)$
$S_{\beta_i}(k)$	$\sinh(ks_i d_i)$	$i \sin(k\bar{s}_i d_i)$

## B. Elemen *Fast Delta Matrix*

Di definisikan

$$\varepsilon_i = \rho_{i+1}/\rho_i; \eta_i = 2(y_i - \varepsilon_i \gamma_{i+1})$$

dan

$$a_i = \varepsilon_i + \eta_i; a'_i = a_i - 1; b_i = 1 - \eta_i; b'_i = b_i - 1.$$

$$\text{Serta } a'_i + b_i = a_i + b'_i = a_i b_i - a'_i b'_i = \varepsilon_i.$$

$$\bar{T}_{11} = ab$$

$$\bar{T}_{12} = aa'$$

$$\bar{T}_{13} = 0$$

$$\bar{T}_{14} = 0$$

$$\bar{T}_{15} = bb'$$

$$\bar{T}_{16} = a'b'$$

$$\bar{T}_{21} = ab' C_\alpha C_\beta - a'b(S_\alpha/r)(S_\beta/s)$$

$$\bar{T}_{21} = ab' C_\alpha C_\beta - a'b(S_\alpha/r)(S_\beta/s)$$

$$\bar{T}_{22} = a^2 C_\alpha C_\beta - a'^2(S_\alpha/r)(S_\beta/s)$$

$$\bar{T}_{23} = \varepsilon C_x(S_\beta/s)$$

$$\bar{T}_{24} = -\varepsilon(S_\alpha/r)C_\beta$$

$$\bar{T}_{25} = b'^2 C_\alpha C_\beta - b^2(S_\alpha/r)(S_\beta/s)$$

$$\vec{T}_{26} = \vec{T}_{21}$$

$$\bar{T}_{31} = ab' C_\alpha (sS_\beta) - a' b (S_\alpha/r) C_\beta$$

$$\bar{T}_{32} = a^2 C_\alpha (sS_\beta) - a'^2 (S_\alpha/r) C_\beta$$

$$\bar{T}_{33} = \varepsilon C_\alpha C_\beta$$

$$\bar{T}_{34} = -\varepsilon (S_\alpha/r) (sS_\beta)$$

$$\bar{T}_{35} = b'^2 C_\alpha (sS_\beta) - b^2 (S_\alpha/r) C_\beta$$

$$\vec{T}_{36} = \vec{T}_{31}$$

$$\bar{T}_{41} = -ab' (rS_\alpha) C_B + a' b C_x (S_\beta/s)$$

$$\bar{T}_{42} = -a^2 (rS_\alpha) C_B + a'^2 C_x (S_\beta/s)$$

$$\bar{T}_{43} = -\varepsilon (rS_\alpha) (S_\beta/s)$$

$$\vec{T}_{44} = \varepsilon C_\alpha C_\beta$$

$$\bar{T}_{45} = -b'^2 (rS_\alpha) C_B + b^2 C_x (S_\beta/s)$$

$$\vec{T}_{46} = \vec{T}_{41}$$

$$\bar{T}_{51} = -ab' (rS_\alpha) (sS_\beta) + a' b C_\alpha C_B$$

$$\bar{T}_{52} = -a^2 (rS_\alpha) (sS_\beta) + a'^2 C_\alpha C_B$$

$$\bar{T}_{53} = -\varepsilon (rS_\alpha) C_\beta$$

$$\bar{T}_{54} = \varepsilon (rS_\beta) C_\alpha$$

$$\bar{T}_{55} = -b'^2 (rS_\alpha) (sS_\beta) + b^2 C_\alpha C_\beta$$

$$\vec{T}_{56} = \vec{T}_{51}$$

$$\bar{T}_{61} = a' b'$$

$$\bar{T}_{62} = aa'$$

$$\bar{T}_{63} = 0$$

$$\bar{T}_{64} = 0$$

$$\bar{T}_{65} = bb'$$

$$\vec{T}_{66} = ab$$

$$\bar{U}' = \mu_1^2 [2t_1 \quad -t_1^2 \quad 0 \quad 0 \quad -4 \quad 2t_1] \quad \bar{V} = \begin{bmatrix} 0 \\ 1 \\ s_\ell \\ -r_\ell \\ -r_\ell s_\ell \\ 0 \end{bmatrix}$$

### C. Algoritma *Fast Delta Matriks*

Algoritma ini mirip dengan algoritma *Fast Schwab-Knopoff*, kecuali bahwa determinan dihitung menggunakan *delta matrix formalism* daripada *Knopoff decomposition*. Algoritma yang dihasilkan secara lebih sederhana dan sekitar 12 persen lebih efisien

Algoritma ini dinyatakan dalam hal vektor baris tunggal X dengan enam komponen. Hanya lima yang benar-benar diperlukan, dan ini sesuai dengan versi algoritma yang 'dikurangi'.

Faktorisasi yang dioptimalkan untuk komputasi numerik dinyatakan dalam hal parameter  $p_a, q_a, y_b, z_b$  ( $a = 1,2,3,4; b = 1,2$ ). Perhatikan bahwa tidak ada faktor yang dihasilkan yang mengandung  $C_\alpha^2, S_\alpha^2, C_\beta^2$ , atau  $S_\beta^2$  yang akan menimbulkan masalah ketidakstabilan. Misalkan

$$X_i = [x_1, x_2, \dots, x_6] \quad X_{i+1} = [\hat{x}_1, \hat{x}_2, \dots, \hat{x}_6]$$

Pada setiap iterasi,  $x_6 = x_1$  (dan  $\hat{x}_6 = \hat{x}_1$ ), jadi mengurangi istilah-istilah ini dapat mengurangi algoritma. Variabel-variabel ini dituliskan di sini hanya demi kelengkapan.

1) Menginisialisasi:

$$X_1 = \mu_1^2 [2t_1 \quad -t_1^2 \quad 0 \quad 0 \quad -4 \quad 2t_1]; \quad t_1 = 2 - c^2/\beta_1^2$$

2) Rekursi Lapisan: (iterasi untuk  $i = 1, 2, \dots, n$ )

$$p_1 = C_\beta x_2 + sS_\beta x_3 \quad q_1 = C_\alpha p_1 - rS_\alpha p_2$$

$$p_2 = C_\beta x_4 + sS_\beta x_5 \quad q_2 = -\frac{1}{r} S_x p_3 + C_\alpha p_4$$

$$p_3 = \frac{1}{s} S_\beta x_2 + C_\beta x_3 \quad q_3 = C_x p_3 - rS_\alpha p_4$$

$$p_4 = \frac{1}{s} S_\beta x_4 + C_\beta x_5 \quad q_4 = -\frac{1}{r} S_\alpha p_1 + C_\alpha p_2$$

$$y_1 = a'x_1 + aq_1$$

$$y_2 = ax_1 + a'q_2$$

$$z_1 = bx_1 + b'q_1$$

$$z_2 = b'x_1 + bq_2$$

$$\hat{x}_1 = b'y_1 + by_2$$

$$\hat{x}_2 = ay_1 + a'y_2$$

$$\hat{x}_3 = \varepsilon q_3$$

$$\hat{x}_4 = \varepsilon q_4$$

$$\hat{x}_5 = b'z_1 + bz_2$$

$$\hat{x}_6 = az_1 + a'z_2 = \hat{x}_1$$

3) Fungsi dispersi :  $D(c, k) = \hat{x}_2 + s_\ell \hat{x}_3 - r_\ell (\hat{x}_4 + s_l \hat{x}_5)$ .